

## معايير الكسر للعتبات الخرسانية المسلحة كلياً وجزئياً بألياف البولي بروبلين

سامر سامي مجید

مدرس مساعد

جامعة الموصل / كلية الهندسة / قسم هندسة الموارد المائية

### الخلاصة

يشتمل البحث على دراسة عملية لبعض الخصائص الميكانيكية التي تضمنت مقاومة الإنضغاط ومقاومة الشد الإنشطاري ومعامل المرونة لمزجة خرسانية بنسب مزج وزنية (1 : 2 / 0.35) مدعة بألياف البولي بروبلين بنسبة حجمية (0.25%, 0.50%, 0.75%, 1.0%, 1.25%) ومقارنتها مع الخرسانة الإعتيادية. كما تضمن البحث فحص معاير الكسر وأقصى إنحراف لعتبات خرسانية بأبعاد (100×100×500) ملم مدعة بألياف البولي بروبلين بنفس النسبة الحجمية المذكورة ولعتبات بنصف عمق خرسانة ليفية والنصف الآخر خرسانة إعتيادية ومقارنته مع معاير الكسر وأقصى هبوط لعتبات خرسانية إعتيادية.

## Modulus of Rupture of Fully and Partially Reinforced Concrete Beams With Polypropylene Fibers

Samer Sami Majeed

Assist. Lecturer

Mosul University / Engineering college/ Department of water resources engineering

[samir\\_sami\\_63@yahoo.com](mailto:samir_sami_63@yahoo.com)

### Abstract

In this research an experimental study was conducted to explore some mechanical properties such as compressive strength and splitting tensile strength and modulus of elasticity of concrete mix with weighted mixed portions (1 : 1.5 : 2 / 0.35) reinforced with polypropylene fibers by (0.25%, 0.50%, 0.75%, 1.0%, 1.25%) as volume percentage comparing with normal concrete. Research also contain testing modulus of rupture and maximum deflection of polypropylene concrete beams with dimensions (100×100×500) mm with the same volume percentage and concrete beams with half depth fibrous concrete and the other half normal concrete and comparing with the modulus of rupture and maximum deflection of normal concrete beams.

**Keywords:** Compressive and Tensile strength, Deflection in beams, Modulus of elasticity, Modulus of rupture, Polypropylene fiber.

## المقدمة :-

شهدت المنشآت الخرسانية تقدماً ملحوظاً بإستخدام خرسانة ذات مواصفات خاصة منتجة بإستخدام مضادات معينة تضاف أثناء مزج الخرسانة لتحسين مقاومة الخرسانة وزيادة ديمومتها وإتاحة المجال للمصمم لنقليل أبعاد العناصر الإنسانية في المنشآت الخرسانية المستخدمة فيها ، لهذا شاع إستخدامها في المباني ذات الإرتفاع العالي والفضاءات الواسعة غالباً ما يتم تعزيز هذه الخرسانة بالألياف الزجاجية والفولاذية وألياف البولي بروبلين بسبب دورها في زيادة قابلية تبديد الطاقة وتقليل التشققات وتحويل الفشل في الخرسانة من فشل قص فاجيء إلى فشل من تدريجي وتحسين مقاومة الإنضغاط والشد والإحناء للخرسانة [1]. في هذا البحث تم اختيار مزجة خرسانية بنسب وزنية (1:0.35:2.0:1.5:2) مدمعة بألياف البولي بروبلين بنسبة حجمية (0.0,0.25,0.50,0.75,1.0,1.25) % لدراسة تأثير إضافة الألياف على معامل المرونة ومقاومة الخرسانة للإنضغاط والشد والإحناء. أجري عدد من البحوث والدراسات في هذا المجال منها البحث الذي أجراه الباحثان (Guirguis & Potter) [1] عام 1985 على نماذج خرسانية مدمعة بألياف البولي بروبلين بنسبة حجمية (0.1%) حيث أظهرت النتائج إنخفاض المطرول في الخرسانة الليفية الطيرية مقارنة بالخرسانة الإعتيادية وكذلك إنخفاض إنكمash الجفاف بعد التصلب وزيادة في مقاومة الإنضغاط والإحناء والإنفلاق. أجرى الباحثين (Ezzat, Mohamed, May) [2] عام 2003 دراسة حول الترابط والتفاعل المزدوج بين ألياف البولي بروبلين ومادة غبار السليكا داخل المزيج الخرساني، أجريت الدراسة على (24) مزجة خرسانية في الحالة الطيرية وما بعد التصلب وتم دراسة الديمومة الكيميائية والنفاذية وأشكال التشقق الحاصل في الخرسانة ولظروف بيئية مختلفة، كانت النسبة الحجمية للألياف المستخدمة (0.0,0.1,0.3,0.5) % ونسبة الماء إلى الأسمنت (0.35,0.4,0.5) وكمية الأسمنت (420) كغم/م<sup>3</sup> ونسبة غبار السليكا تتراوح بين (0 - 10) % وجدوا أن كلّ من الألياف وغبار السليكا يقلّ من الهطول في الحالة الطيرية للخرسانة ويزيد من مقاومة الإنضغاط والإحناء ويقلّ النفاذية وكثافة وطول وعرض التشققات ووجدوا أن أفضل نسبة إضافة حجمية للألياف لا تزيد عن (0.3%) ولغبار السليكا بحدود (10%). أجرى الباحثان (Khayat & Hwang) [3] عام 2008 دراسة على مزجة خرسانية ذاتية الرص مدمعة بألياف البولي بروبلين ووجدوا أن النسبة الحجمية للألياف (0.25%) تزيد قيمة معامل شد الزحف (Tensile Creep Coefficient) بمقدار (55%) وكذلك زيادة الوقت المستغرق لظهور التشققات الناتجة عن إنكمash الجفاف من (5.2) إلى (8.3) يوم. أجرى الباحثان (Chin, Xiao) [4] عام 2009 دراسة مختبرية على عتبات خرسانية مسلحة بقضبان حديدية قطر (8 mm) وإجهاد خصوص (424 MPa) ومدمعة بألياف البولي بروبلين بطول (5 mm) وقطر (0.9 mm)، أبعاد العتبات كانت بنسبة طول إلى عمق ثابتة وهي (2.57) وبعمق مؤثر (135.4 mm)، أظهرت الدراسة أن إضافة الألياف زاد من مقاومة الخرسانة للشد ومقاومة القص للعتبات الخرسانية المسلحة كما أن التشققات كانت محدودة ومنتظمة التوزيع. أجرى الباحث (subhashini) [5] عام 2010 دراسة عملية على صفائح خرسانية مسلحة بقضبان من ألياف البوليمر ومدمعة بألياف البولي بروبلين بنسبة حجمية (0.5%, 1%) وبطول (2.25) إنج، فحصت الصفائح بتسليط الضغط في أربعة مواقع ووجد أن مقاومة الإنضغاط زادت بمقدار (8%) مقارنة بالصفائح الخرسانية غير المدعمة بالألياف. أجرى الباحثين (Witold, Osman) [6] عام 2011 دراسة على مزجة خرسانية مدمعة بألياف البولي بروبلين معرضة لأشعة كاما وجدوا أن المزجة الخرسانية المدعمة بألياف البولي بروبلين بنسبة حجمية (1.5%) والمعرضة لأشعة بدرجة (50 KGY) أعطت مقاومة إنضغاط أعلى بمقدار (19%) ومعامل مرونة أعلى بمقدار (7.3%) من مزجة غير معرضة لأشعة وهذا يرجع إلى أن الطاقة الأيونية تزيد الإتصال السطحي بين مكونات المزجة وعجينة الأسمنت. أجرى الباحثين (Martinee, Brostow, Ozel, Gencel) [7] عام 2011 دراسة مختبرية على مزجة خرسانية ذاتية الرص مدمعة بالغبار المتطاير (Fly Ash) وألياف البولي بروبلين حيث كان محتوى الأسمنت في المزجة الأولى (350) كغم / م<sup>3</sup> والثانية (450) كغم / م<sup>3</sup> ومحتوى الألياف (12, 9, 6, 3, 0) كغم / م<sup>3</sup> نسبة الماء إلى الأسمنت (0.4) محتوى الغبار المتطاير (120) كغم / م<sup>3</sup> ونسبة الملن (1%) من وزن الأسمنت. أظهرت الدراسة إنخفاض في وحدة الوزن للخرسانة بزيادة كمية الألياف وزيادة في مقاومة الإنضغاط والإنفلاق والإحناء لغاية محتوى ألياف (9) كغم / م<sup>3</sup>.

## المواد المستخدمة :-

**1- الاسمنت :** في هذا البحث تم استخدام اسمنت عراقي محلي تتم صناعته في محافظة نينوى نوع بادوش وهو من نوع اسمنت بورتلاند الإعتيادي مطابق للمواصفة القياسية العراقية (5) [IQS No 8] والجدول (1) يوضح الخواص الفيزيائية للأسمنت المستخدم.

جدول (1) الموصفات الفيزيائية للأسمنت

الفحص	النتيجة	المواصفة (IQS:5/1984)
وقت التماسك الابتدائي (min)	210	45 min (Min)
وقت التماسك النهائي (min)	330	600 min (Max)
النعومة (%)	5	10 % (Max)
مقاومة الإنضغاط (MPa)		
3 Days	21	16 MPa (Min)
7 days	28.5	24 MPa (Min)

**2- الركام الناعم (الرمل) :** تم استخدام رمل نهري والتحليل المنخلي له موضح في الجدول رقم (2) وجد انه يقع ضمن الحد العام للمواصفة البريطانية (B.S 882:1992) [9]. إذ تبين انه من نوع الرمل المتوسط وبمعامل نعومة (2.74) ونسبة المواد الطينية فيه (2%) وهي ضمن الحد المسموح به في المواصفة البريطانية التي يجب أن لا تتجاوز كميتها (3%) .

جدول (2) نتائج التحليل المنخلي للرمل

المناخل	المارة %	حدود الموصفة % (B.S 882-1992)	حدود إضافية (B.S 882-1992) %		
			خشن	متوسط	ناعم
(No.4)	100	100-89	-----	-----	-----
(No.8)	86	100-60	100-60	100-65	100-80
(No.16)	70	100-30	100-30	100-45	100-70
(No.30)	49	100-15	54-15	80-25	100-55
(No.50)	17	70-5	40-5	48-5	70-5
(No.100)	4	15-0	-----	-----	-----

**3- الركام الخشن (الحصى) :** - الحصى المستخدم في البحث هو حصى نهري والمسمى محلياً (البحص) ذو شكل مكور والمقاس الأقصى له هو (12.5) ملم ومن خلال التحليل المنخلي وجد أنه مطابق للمواصفة البريطانية (B.S.882: 1992) [9] ونتائج التحليل المنخلي له مبينة في جدول (3).

جدول (3) نتائج التحليل المنخلي للحصى

حجم المناخل (mm)	المارة %	حدود الموصفة % (B.S 882-1992)
12.5	97.4	90 – 100
10	57.4	50 – 85
5	2.1	0 – 10
2.36	1	-----

**4- الماء :** تم استخدام ماء الشرب الاعتيادي لمدينة الموصل في الخلطة الخرسانية ومعالجة النماذج وهو ماء صالح للشرب وخالي من الشوائب .

**5- ألياف البولي بروبلين :** - تم استخدام ألياف البولي بروبلين نوع (Sika Fiber) شكل (1) بنسب حجمية (0.25,0.50,0.75,1.0,1.25) % على التوالي كما ورد في جدول (6)، والخواص موضحة في جدول (4).

جدول (4) خواص ألياف البولي بروبلين

شكل المقطع	طول الليف (mm)	مقاومة الشد (N/mm <sup>2</sup> )	معامل المرونة (N/mm <sup>2</sup> )	الوزن النوعي (gm/cm <sup>3</sup> )
مستطيل	50	350	3500	0.91

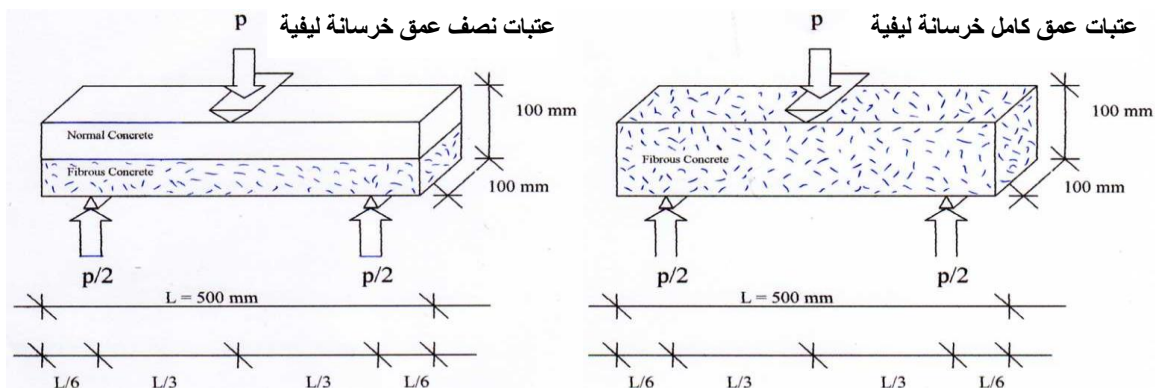


شكل (1) ألياف البولي بروبيلين المستخدمة في البحث

**6- الملنن :-** الملنن المستخدم ذو أداء عالي من نوع (Hyperplast PC 200) ذو وزن نوعي (1.05±0.02%). نسبة الإضافة (%) من وزن الأسمنت لغرض خفض نسبة الماء إلى الأسمنت وتقليل مشاكل إنفصال الركام ومشاكل النزف في الخرسانة عن طريق تحسين التصاق مكونات المزجة والحصول على مقاومة إنضغاط مبكرة عالية وزيادة قابلية التشغيل والدوام ومقاومة العوامل الجوية وتقليل نفاذية الخرسانة.

**طريقة صب وفحص النماذج الخرسانية :-**

تم إعتماد المزجة الخرسانية ذات النسب الوزنية (1:0.35:1.5:2) في هذا البحث. إن عملية صب النماذج تبدأ بعد تنظيف قوالب الصب جيداً ومن ثم تدهن القوالب من الداخل بطبقة خفيفة من الزيت لتسهيل تفكيكها وإخراج النماذج منها ومنع التصاق النماذج بالقوالب المعدنية. ثم التحضير للخلطة الخرسانية حيث تحسب كميات المواد المطلوبة للخلط وذلك بإستخدام الميزان الإلكتروني وتشمل المواد كل من الأسمنت والرمل والحصى والماء إضافة إلى المادة الملننة والتي تم إضافتها بنسبة (1%) من وزن الأسمنت وألياف البولي بروبيلين بالنسبة الحجمية التالية (0.0,0.25,0.5,0.75,1.0,1.25) %. في البداية يوضع الحصى والرمل داخل المازجة ثم يضاف الأسمنت وتخلط المواد وهي جافة بعد ذلك يضاف الملنن إلى الماء ويمزج جيداً ويضاف مزيج الماء والملنن إلى المزيج الجاف بشكل تدريجي مع إستمرار المزج لحين الحصول على خليط متجانس ثم يضاف الألياف بصورة تدريجية مع إستمرار دوران المازجة إلى أن يتجانس المزيج ثم تملأ القوالب بالخرسانة ويتم رصها بإستخدام هزاز منضدي تبلغ سرعته 3000 هزة / دقيقة. تترك النماذج في جو المختبر لمدة (24) ساعة بعدها يتم إستخراج النماذج بفتح القوالب وتوضع في أحواض الماء لمدة (28) يوم لكي تكون جاهزة للفحص، لكل مزجة خرسانية تم صب ثلاثة مكعبات قياس (100×100×100) ملم لفحص مقاومة الإنضغاط للخرسانة [10] وثلاثة إسطوانات قياس (100×200) ملم لفحص مقاومة الإنفلاق للخرسانة [11] وستة عتوبات قياس (100×100×500) ملم لأيجاد العلاقة بين الحمل والإنحراف في وسط العتبة وكذلك إيجاد معابر الكسر [12]. تم تثبيت وفحص العتوبات بطريقة معابر الكسر [12] بتسلیط حمل مرکزی منفرد (Center-Point Loading) بمعدل ثابت في مركز العتبة وقياس الإنحراف الناتج عن الحمل (Deflection) لكل مرحلة من مراحل تسلیط الحمل إلى أن يحصل الفشل باستخدام مؤشر موضوع أسفل منتصف العتبة يقیس الإنحراف بالتدريجات ومن ثم يتم تحويل القراءة إلى (مليметр) والشكل (2) يوضح شكل وآلية الفحص.



شكل (2) شكل وآلية الفحص

## النتائج والمناقشة :-

### 1. مقاومة الإنضغاط (Compressive Strength) :-

تم حساب مقاومة الإنضغاط من فحص ثلاثة مكعبات بأبعاد (100×100×100) ملم لكل مزجة خرسانية (ASTM C109 / C109M - 11a [10]) وإعتماد معدل فحص النماذج الثلاثة. من الشكل (3) والجدولين (6,5) يلاحظ زيادة في مقاومة الإنضغاط بالنسبة المئوية التالية (25.2,20.4,10.7) % مع زيادة النسبة الحجمية لألياف البولي بروبلين المضافة للمزجة الخرسانية كما يلي (0.75,0.5,0.25) % بعدها تقل النسبة المئوية للزيادة في مقاومة الإنضغاط كالتالي (-14.2,11.1) % مع زيادة النسبة المئوية الحجمية للألياف بالنسبة التالية (1.25,1) %.

### 2. مقاومة الإنفلاق (Splitting Strength) :-

تم حساب مقاومة الإنفلاق من فحص ثلاثة إسطوانات بأبعاد (100×200) ملم لكل مزجة خرسانية (ASTM C496 / C496M - 04e1 [11]) وإعتماد معدل فحص النماذج الثلاثة. من الشكل (4) والجدولين (6,5) يلاحظ زيادة في مقاومة الإنفلاق بالنسبة المئوية التالية (39.5,33.4,16.9) % مع زيادة النسبة الحجمية لألياف البولي بروبلين المضافة للمزجة الخرسانية كما يلي (0.75,0.5,0.25) % بعدها تقل النسبة المئوية للزيادة في مقاومة الإنفلاق كالتالي (-5.1,9.8) % مع زيادة النسبة المئوية الحجمية للألياف بالنسبة التالية (1.25,1) %.

### 3. الكسر (Modulus of Rupture) :- معاير

تم قياس قيمة معاير الكسر ومقدار الإنحراف من خلال فحص ستة عتوبات خرسانية بأبعاد (500×100×100) ملم لكل نسبة حجمية للألياف المضافة (10 - 12) [12] ثلاثة عتوبات بعمق كامل خرسانة ليفية وثلاثة أخرى بنصف عمق خرسانة ليفية ونصف عمق خرسانة اعتيادية. الشكل (5) والجدولين (6,5) توضح زيادة في قيمة معاير الكسر بالنسبة المئوية التالية (52.8,15.2,2.7) % للعتوبات بعمق كامل خرسانة ليفية وبالنسبة المئوية التالية (35.9,26.4,3.2) % للعتوبات بنصف عمق خرسانة ليفية مع زيادة النسبة الحجمية للألياف البولي بروبلين المضافة للمزجة الخرسانية كما يلي (0.75,0.5,0.25) % بعدها تقل النسبة المئوية للزيادة في قيمة معاير الكسر كالتالي (35.1,35.9) % للعتوبات بعمق كامل خرسانة ليفية وكالتالي (29.7,35.4) % للعتوبات بنصف عمق خرسانة ليفية مع زيادة النسبة المئوية الحجمية للألياف المضافة بالنسبة التالية (1.25,1) %. إن التحسن الذي يطرأ على صفات الخرسانة بعد إضافة الألياف كالزيادة في مقاومة الإنضغاط والإنفلاق ومعاير الكسر يرجع إلى كون التوزيع العشوائي للألياف داخل المادة الخرسانية يجعل نسبة معينة من الألياف تتقطع وتتعامد مع التشققات ومستويات الفشل الحاصلة بتأثير الإجهادات المسلطة على العضو الخرساني ويظهر التأثير الأيجابي للألياف واضحاً في المراحل المتقدمة من تسليط الحمل أي قبل حدوث الفشل حيث تساهم الألياف في التقليل من كثافة وإنتماد وإتساع التشققات الحاصلة وهذا يؤدي بدوره إلى إستمرار العضو الخرساني بتحمل الإجهادات حتى بعد حدوث التشققات.

### 4. الإنحراف في مركز العتبة (Deflection in Center of Beam) :-

تم في هذا البحث قياس وتسجيل الإنحراف الحاصل في مركز العتبة لكل مرحلة من مراحل تسليط الحمل باستخدام مؤشر موضوع أسفل متنصف العتبة يقيس الهبوط بالتدريجات ومن ثم يتم تحويل القراءة إلى (مليمتر). الشكل (6) والجدولين (6,5) توضح حدوث زيادة في قيمة أقصى إنحراف يحصل في وسط العتبة قبل حدوث الفشل بالنسبة المئوية التالية (120,80,40) % للعتوبات بعمق كامل خرسانة ليفية وبالنسبة المئوية التالية (100,80,20) % للعتوبات بنصف عمق خرسانة ليفية مع زيادة النسبة الحجمية للألياف البولي بروبلين المضافة للمزجة الخرسانية كما يلي (0.75,0.5,0.25) % بعدها تقل النسبة المئوية للزيادة في قيمة الهبوط كالتالي (20,20) % وتسقط عند هذه النسبة للعتوبات بعمق كامل ونصف عمق خرسانة ليفية مع زيادة النسبة المئوية الحجمية للألياف المضافة بالنسبة التالية (1.25,1) %. الأشكال (10) إلى (15) توضح العلاقة بين الحمل المسلط والإنحراف في وسط العتبة لثلاثة عتوبات لكل نسبة ألياف وتوضح الأشكال (16) إلى (20) نفس العلاقة لكن لعتوبات بنصف عمق خرسانة ليفية والنصف الآخر خرسانة اعتيادية. يوضح الشكل (21) العلاقة بين معدل الحمل المسلط ومعدل الإنحراف في وسط العتبة لثلاثة عتوبات لكل نسبة إضافة للألياف. كما يوضح الشكل (22) نفس العلاقة السابقة ولكن لعتوبات بنصف عمق خرسانة ليفية والنصف الآخر خرسانة اعتيادية. الشكل (23)

هو عبارة عن دمج بين الشكلين (21) و (22) لتوسيع ومقارنة سلوك العينات بعمق كامل وبنصف عمق خرسانة ليفية ويلاحظ أن منحنيات العلاقة بين الحمل المسلط والإنحراف للعينات بنصف عمق خرسانة ليفية تقع أسفل منحنيات العينات بعمق كامل خرسانة ليفية أي أن قيم المقاومة والإنحراف والمطابعة التي توفرها أقل من مثيلاتها بعمق كامل خرسانة ليفية ولنفس النسب الحجمية للألياف في المزجة.

## 5. معامل المرونة :- (Modulus of Elasticity)

تم حساب معامل المرونة من فحص ثلاثة إسطوانات بأبعاد (300×150) ملم لكل مزجة خرسانية ( / ASTM C469 ) [13] وإنتماد معدل فحص النماذج الثلاثة. من الشكل (7) والجدولين (6,5) يلاحظ زيادة في قيمة معامل المرونة بالنسبة المئوية التالية (10.2,8.9,4.7) % مع زيادة النسبة الحجمية للألياف البولي بروبيلين المضافة للمزجة الخرسانية كما يلي (0.75,0.5,0.25) % بعدها تقل النسبة المئوية للزيادة في قيمة معامل المرونة كالتالي ( - .4.2% مع زيادة النسبة المئوية الحجمية للألياف بالنسبة التالية (1.25,1) % .16.9).

**6. العلاقة بين الإجهاد والإنفعال :- (Relationship Between Stress and Strain)** توضح العلاقة بين الإجهاد والإنفعال لكل مزجة أن وجود الألياف أعطى مقاومة أكبر ومرنة ومطابعة أكثر للنماذج إلى حد نسبة مزج (0.75%) بعدها قلت مقاومة النماذج مع إستمرار الزيادة في المرونة والمطابعة بإستمرار الزيادة في النسبة الحجمية للألياف، الشكل (8).

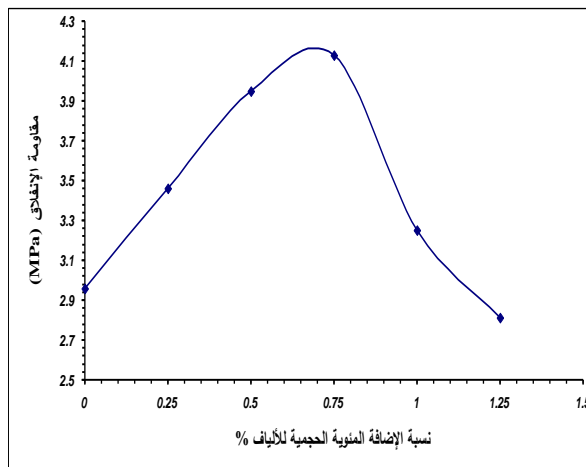
**7. المساحة تحت منحني الحمل - الإنحراف :- (Area under load - deflection curve)** تعد الخرسانة الإعتيادية مادة قصيفة (Brittle Material) ولهذا السبب تضاف الألياف إلى الخرسانة لتحسين المطيلية (Ductility) أو قابلية المادة على إمتصاص كل الطاقة في المجال المرن واللدن لحين إكمال فشل العضو الخرساني وبعد هذا دليلاً على تحمل المادة للشقق المتدرج [14]. إن المساحة الواقعية تحت منحني العلاقة بين (الحمل - الإنحراف) لفحص الإنحناء (Load - Deflection Curve of Flexural Test) يمكن أن تعتبرقياساً للمطيلية ولهذا السبب تم حساب المساحة تحت المنحني لجميع العلاقات التي تربط بين الحمل والإنحراف للعينات بعمق كامل وبنصف عمق خرسانة ليفية كما في الجدول (7) والشكل (9) ويلاحظ أن المساحة تحت المنحني تزداد إلى حد نسبة إضافة مئوية حجمية للألياف (0.75) % وتبلغ نسبة الزيادة (289) % للعينات بعمق كامل خرسانة ليفية و (98) % للعينات بنصف عمق خرسانة ليفية وبعد هذه النسبة تبدأ القيم بالإختفاء.

جدول (5) تغير مواصفات الخرسانة بتغير النسب المئوية الحجمية للألياف المضافة

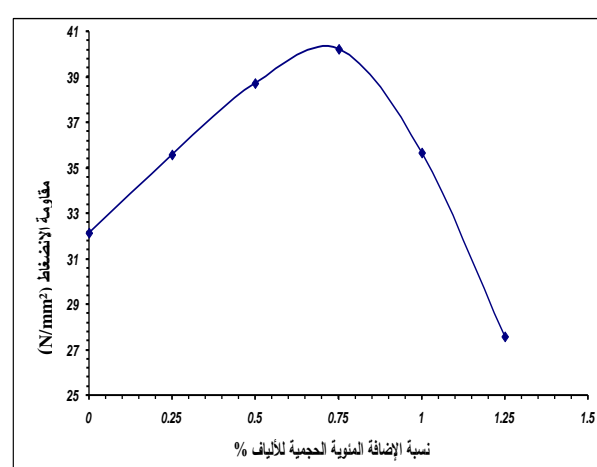
النسب المئوية الحجمية للألياف						
مقاومة الإنضغاط ( N/mm <sup>2</sup> )	27.56	35.67	40.24	38.70	35.56	32.13
مقاومة الإنفاق ( MPa )	2.81	3.25	4.13	3.95	3.46	2.96
معامل المرونة ( GPa )	17.89	20.64	23.75	23.47	22.55	21.54
معايير الكسر للعينات بعمق كامل خرسانة ليفية ( MPa )	4.96	4.99	5.61	4.23	3.77	3.67
الإنحراف للعينات بعمق كامل خرسانة ليفية ( mm )	0.6	0.6	1.1	0.9	0.7	0.5
معايير الكسر للعينات بنصف عمق خرسانة ليفية ( MPa )	4.76	4.97	4.99	4.64	3.79	3.67
الإنحراف للعينات بنصف عمق خرسانة ليفية ( mm )	0.6	0.6	1.0	0.9	0.6	0.5

جدول (6) النسب المئوية للزيادة والنقصان في مواصفات الخرسانة بتغير النسب المئوية الحجمية للألياف المضافة

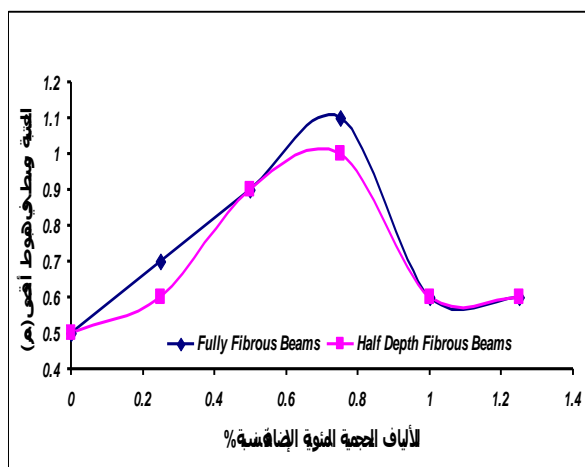
النسب المئوية الحجمية للألياف %						
نسبة الزيادة والنقصان في مقاومة الإنضغاط %	-14.22	11.01	25.24	20.44	10.67	0.00
نسبة الزيادة والنقصان في مقاومة الإنفاق %	-5.06	9.79	39.52	33.44	16.89	0.00
نسبة الزيادة والنقصان في معامل المرونة %	-16.94	-4.17	10.25	8.96	4.68	0.00
نسبة التغير في معاير الكسر للعينات بعمق كامل خرسانة ليفية %	35.14	35.96	52.86	15.25	2.72	0.00
نسبة التغير في الإنحراف للعينات بعمق كامل خرسانة ليفية	20.00	20.00	120.00	80.00	40.00	0.00
نسبة التغير في معاير الكسر للعينات بنصف عمق خرسانة ليفية %	29.70	35.42	35.96	26.43	3.26	0.00
نسبة التغير في الإنحراف للعينات بنصف عمق خرسانة ليفية %	20.00	20.00	100	80.00	20.00	0.00



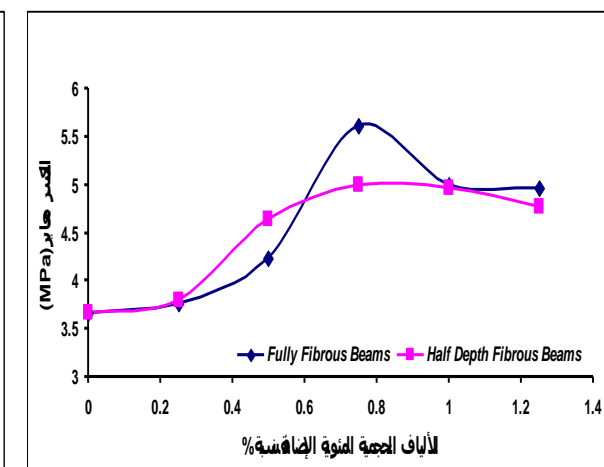
شكل (4) العلاقة بين مقاومة الإنفلاق والنسبة المئوية للألياف



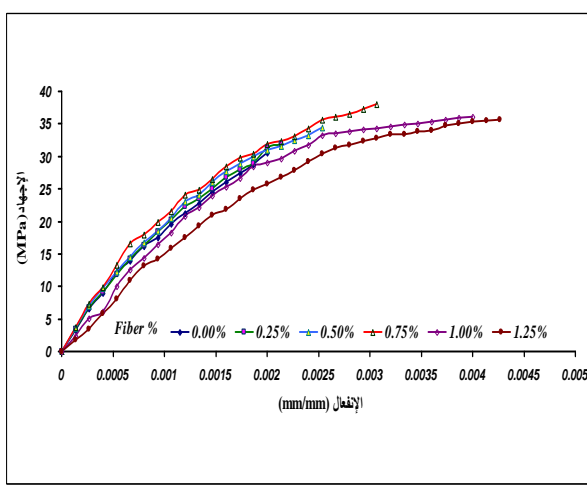
شكل (3) العلاقة بين مقاومة الإنضغاط والنسبة المئوية للألياف



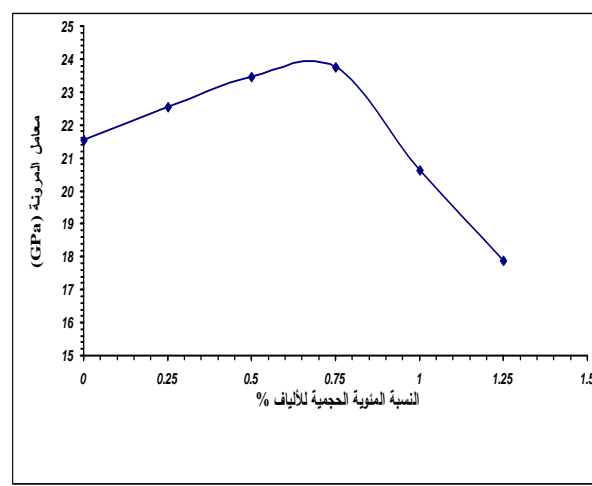
شكل (6) العلاقة بين أقصى انحراف والنسبة المئوية للألياف



شكل (5) العلاقة بين معاير الكسر و النسبة المئوية للألياف



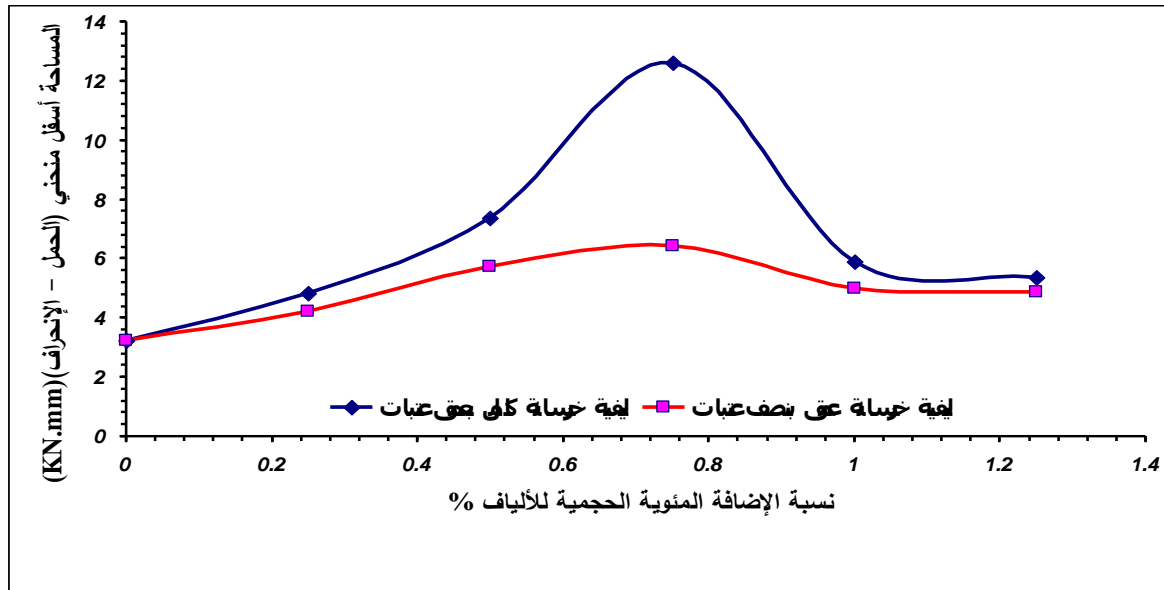
شكل (8) العلاقة بين الاجهاد والانفعال للخواصنة بنسب مل إضافة المئوية حجمية مختلفة للألياف



شكل (7) العلاقة بين معامل المرونة ونسبة الإضافة المئوية الحجمية للألياف

جدول(7): تغير قيمة المساحة تحت منحنى العلاقة بين الحمل والانحراف للعتبات بتغير النسبة المئوية للألياف المضافة

النسبة المئوية الحجمية للألياف في المزجة	0.00%	0.25%	0.50%	0.75%	1.00%	1.25%
المساحة تحت منحنى العلاقة بين الحمل والإنحراف للعتبات بعمق كامل خرسانة ليفية (KN.mm)	3.24	4.82	7.38	12.6	5.9	5.35
المساحة تحت منحنى العلاقة بين الحمل والإنحراف للعتبات بنصف عمق خرسانة ليفية (KN.mm)	3.24	4.22	5.73	6.42	4.99	4.89
النسبة المئوية للزيادة في المساحة تحت المنحنى للعتبات بعمق كامل خرسانة ليفية %	0.0	49	128	289	82	65
النسبة المئوية للزيادة في المساحة تحت المنحنى للعتبات بنصف عمق خرسانة ليفية %	0.0	30	77	98	54	51



شكل (9) العلاقة بين المساحة أسفل منحنى (الحمل - الإنحراف) والنسبة المئوية الحجمية للألياف للعتبات بعمق كامل ونصف عمق خرسانة ليفية

الاستنتاجات :-

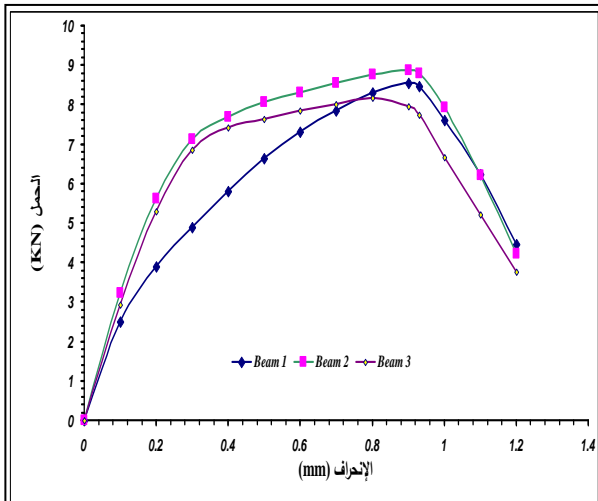
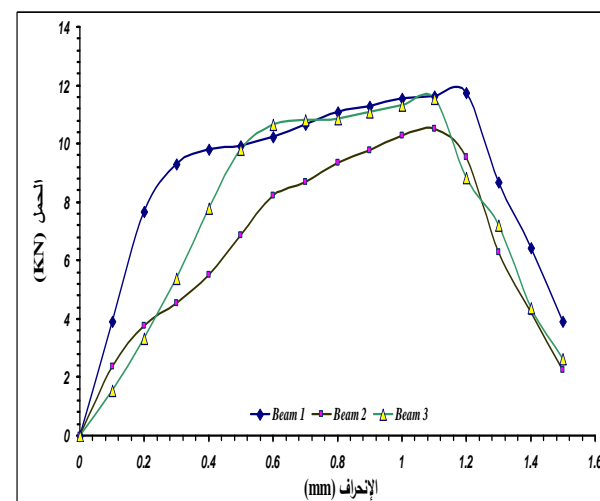
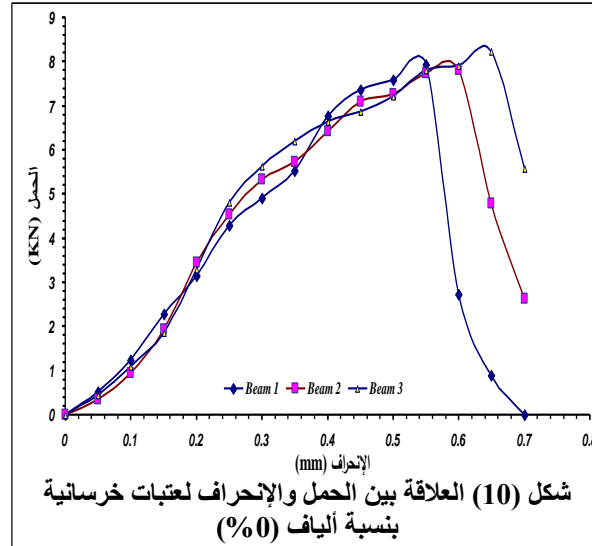
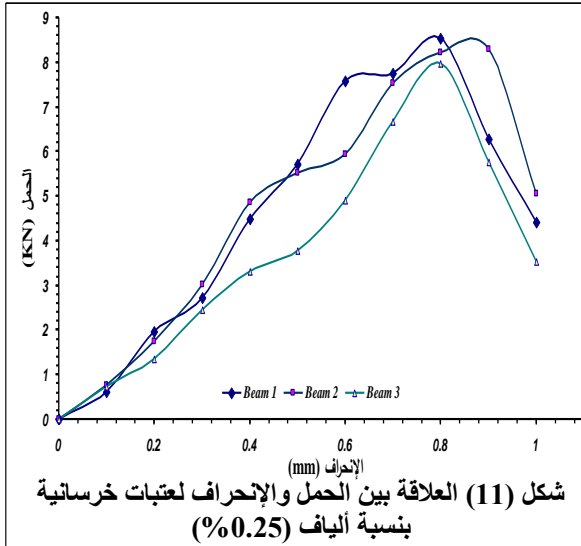
1- من خلال النتائج العملية المستحصلة من هذا البحث يلاحظ تحسن صفات الخرسانة بإضافة ألياف البولي بروبيلين إليها بنسبة إضافة مئوية حجمية مختلفة وإن أفضل نسبة إضافة للألياف كانت (0.75 %) حيث أدت إلى زيادة في مقاومة الإنضغاط بنسبة (25.2 %) ومقاومة الإنفلاق بنسبة (39.5 %) ومعامل المرونة بنسبة (10.3 %). كما إزدادت قيمة معابر الكسر للعتبات ووصلت أعلى قيمة عند نسبة إضافة للألياف (0.75 %) حيث كانت نسبة الزيادة في قيمة معابر الكسر للعتبات بعمق كامل خرسانة ليفية (52.86 %) و (35.96 %) للعتبات بنصف عمق خرسانة ليفية. كما إزدادت قيمة أقصى إنحراف في وسط العتبات قبل حدوث الفشل عند نسبة إضافة للألياف (0.75 %) حيث كانت نسبة الزيادة (120 %) للعتبات بعمق كامل خرسانة ليفية و (100 %) للعتبات بنصف عمق خرسانة ليفية.

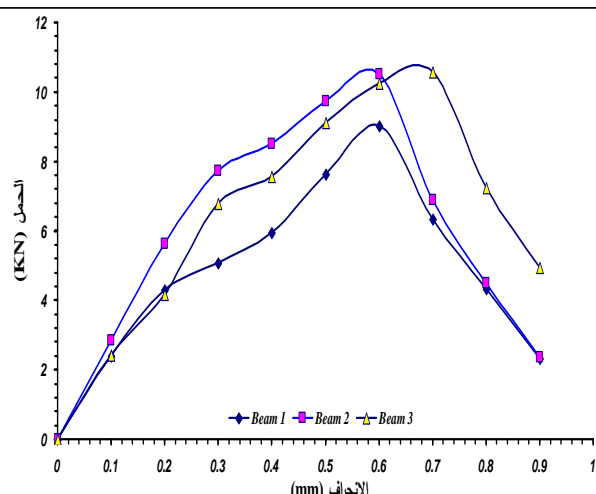
2- أن وجود الألياف أعطى مقاومة أكبر ومرنة ومتوازنة أكثر للنماذج إلى حد نسبة مزج للألياف (0.75%) بعدها قلت مقاومة النماذج مع إستمرار الزيادة في المرنة والمطاوعة بإستمرار الزيادة في النسبة الحجمية للألياف.

3- يلاحظ من خلال النتائج العملية لهذا البحث تراجع في التحسن الذي حصل في صفات الخرسانة الليفية عند نسبة الإضافة المئوية الحجمية (1.25,1) % وهذا يعود إلى احتمال حدوث التكتل أو التكور في الألياف ونشوء الفراغات الهوائية والتوزيع العشوائي وغير المتجانس وإحتمال حدوث حالة تركيز تواجد الألياف في مناطق على حساب مناطق أخرى داخل الخرسانة.

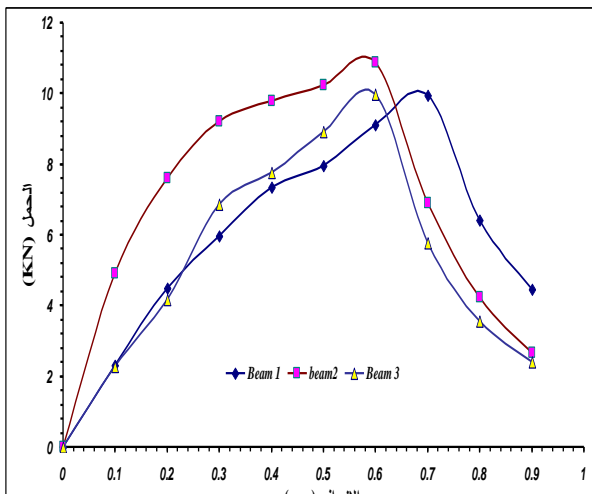
4- من خلال حساب المساحة تحت منحني (الحمل - الإنحراف) للعتبات الخرسانية والتي تمثل طاقة الإنفعال أو الطاقة الممتصة من قبل العضو الخرساني لوحظ زيادة في المساحة أو قابلية إمتصاص الطاقة بزيادة نسبة الألياف إلى حد (0.75 %) حيث وصلت نسبة الزيادة إلى (289) % للعتبات بعمق كامل خرسانة ليفية و (98) % للعتبات بنصف عمق خرسانة ليفية وهذا مؤشر جيد على زيادة مطبلية ومرنة وقابلية إمتصاص الطاقة لعتبات الخرسانة المدعمة بالألياف والمعرضة إلى إجهاد الشد والإنهاء وهذا يسمح للعبة بالإستمرار في تحمل القيمة القصوى من الأحمال بعد حدوث التشقق والمساح للخرسانة بتحمل أقصى حمل صمدت من أجله.

5- بالنسبة للعتبات بنصف عمق خرسانة ليفية لوحظ أن المساحة تحت منحني الحمل الإنحراف كانت أقل من مثيلاتها من العتبات الخرسانية بعمق كامل خرسانة ليفية. ولكن عملياً ومن الناحية الاقتصادية وإختصار النفقات وخصوصاً في المنشآت والأعمال الهندسية الضخمة والمكلفة كون الخرسانة الليفية أكثر كلفة من الخرسانة الإعتيادية يمكن الإستفادة من وجود الخرسانة الليفية في منطقة الشد فقط أي نصف عمق العتبة المعرض للشد أي صب الخرسانة الليفية في نصف العتبة المعرض للشد وإكمال صب بقية العتبة بخرسانة اعتيادية إذا لم يكن هناك داعي لصب العتبة بأكملها بخرسانة ليفية وذلك لمساعدة حديد التسليح في تحمل الإجهاد وذلك لأن قضبان التسليح تتوضع عادةً باتجاه إجهادات الشد الرئيسية بينما يكون وضع الألياف بشكل عشوائي وذلك لضمان تقاطعها مع مستويات الفشل والعمل على ترابطها للسماح بتوزيع الحمل حتى بعد حدوث التشققات وإنزلاق المستويات مع بعضها للوصول إلى الحمل الأقصى الذي صمدت لتحمله الخرسانة المدعمة بالألياف.

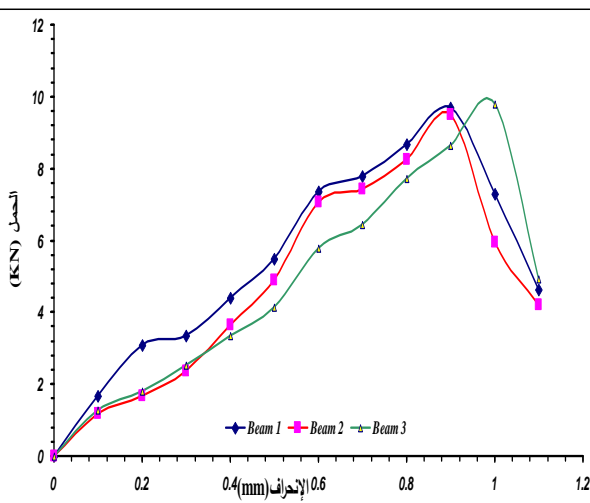




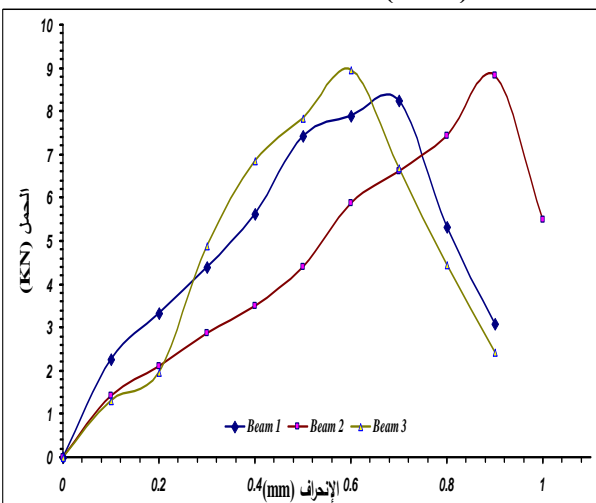
شكل (15) العلاقة بين الحمل والانحراف لعتبات خرسانية بنسبة ألياف (%1.25)



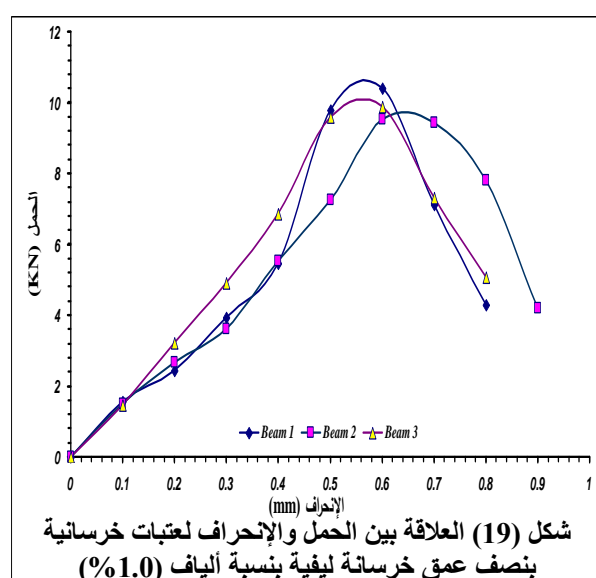
شكل (14) العلاقة بين الحمل والانحراف لعتبات خرسانية بنسبة ألياف (%1.0)



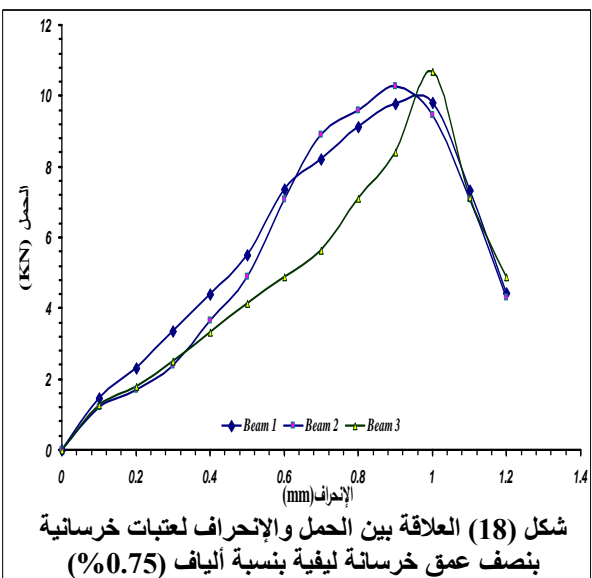
شكل (17): العلاقة بين الحمل والانحراف لعتبات خرسانية بنصف عمق خرسانية ليفية بنسبة ألياف (%0.5)



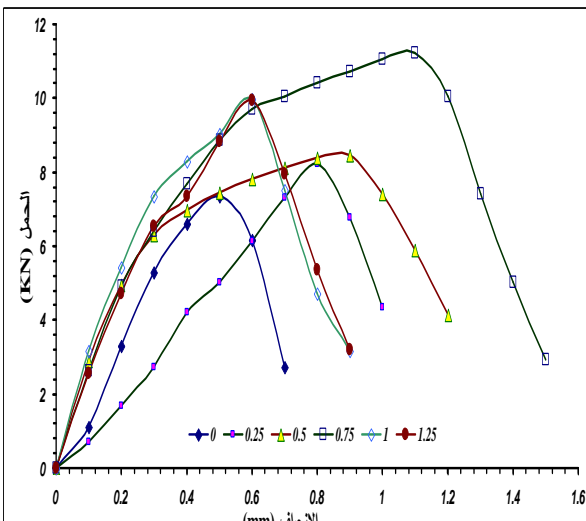
شكل (16): العلاقة بين الحمل والانحراف لعتبات خرسانية نصفعمة، خرسانية ليفية بنسبة ألياف (%0.25)



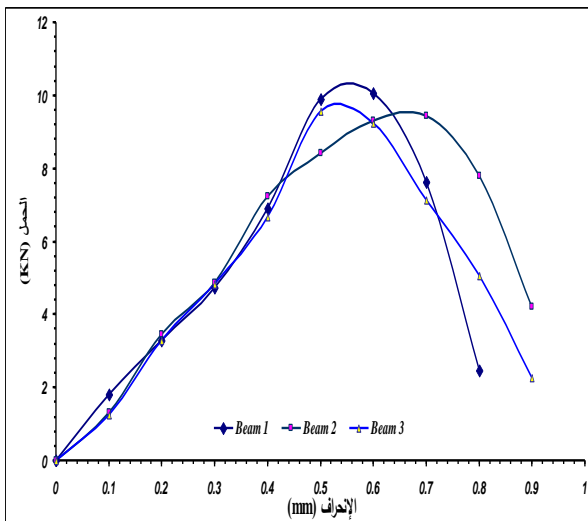
شكل (19) العلاقة بين الحمل والانحراف لعتبات خرسانية بنصف عمق خرسانية ليفية بنسبة ألياف (%1.0)



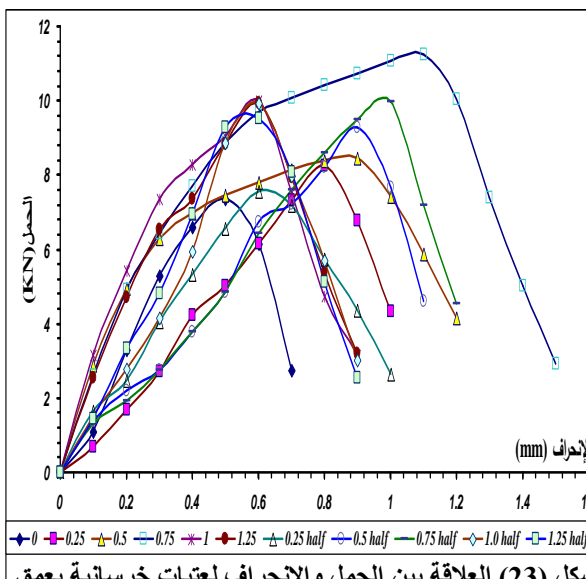
شكل (18) العلاقة بين الحمل والانحراف لعتبات خرسانية بنصف عمق خرسانية ليفية بنسبة ألياف (%0.75)



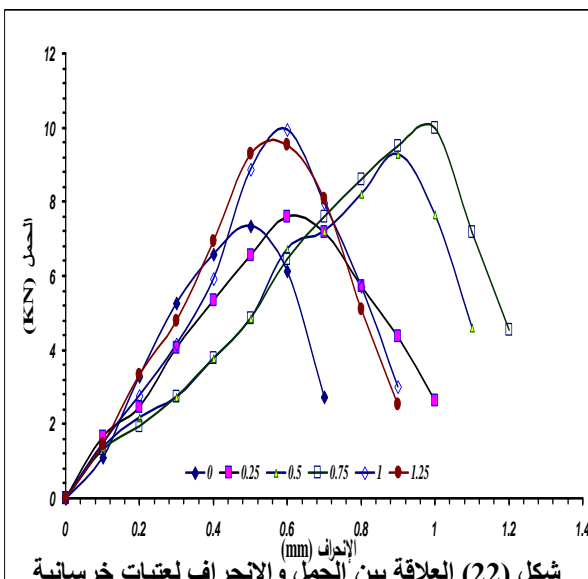
شكل (21) العلاقة بين الحمل والانحراف لعتبات خرسانية بعمق كامل خرسانة ليفية بنسبة إضافة منوية حجمية مختلفة للألياف



شكل (20) العلاقة بين الحمل والانحراف لعتبات خرسانية بنصف عمق خرسانة ليفية بنسبة ألياف (%) 1.25



شكل (23) العلاقة بين الحمل والانحراف لعتبات خرسانية بعمق كامل ونصف عمق خرسانة ليفية بنسبة إضافة منوية حجمية مختلفة للألياف



شكل (22) العلاقة بين الحمل والانحراف لعتبات خرسانية بنصف عمق خرسانة ليفية بنسبة إضافة منوية حجمية مختلفة للألياف

## المصادر :-

- Guirguis, B. E. and Potter, R. J., "Polypropylene Fibers in Concrete", Technical Report TR/F90, Cement and Concrete Association of Australia, 1985.
- Ezzat, Mohamed, May, "Polypropylene Fiber and Silica Fume Concrete for Bridge Overlays", Paper Submitted for Presentation and Publication in the 82<sup>nd</sup> Annual Meeting of the Transportation Research Board, January 12<sup>th</sup>-16<sup>th</sup>, 2003, Washington, D. C.
- Soo-Duck Hwang and Kamal H. Khayat, "Effect of Mixture Composition on Restrained Shrinkage Cracking of Self-Consolidating Concrete Used in Repair", ACI Materials Journal, Technical Paper, Title No. 105-M58, September-October 2008.

4. C. S. Chin , R. Y. Xiao, "Experimental and Computational Analysis of Fiber Reinforced Concrete Beams", Non-conventional Materials and technologies-September 2009, Bath, UK.
5. Subhashini Neela, " Flexural Behavior of Basalt FRB Bar Reinforced Concrete Members with and without Polypropylene Fiber ", A Thesis Presented to The Graduate Faculty of The University of Akron, Ohio, USA, December, 2010.
6. Gonzalo, Fernando, Osman, Witold, " Mechanical properties of polypropylene-fiber reinforced concrete after gamma irradiation", University of North Texas, Denton, USA, Accepted 26 January 2011.
7. Martinee, Brostow, Ozel,Gencel, " Mechanical Properties of Self-Compacting Concrete Reinforced with Polypropylene Fibers", Materials Research Innovations, 2011, Vol 15, No 3.
8. IQS No:5, 1984 "Characteristics of OPC" Central Agency for standardization and quality control, Iraq,1984.
9. British Standards Institute, B.S 882-1992 "Aggregates from Natural Sources for Concrete".
10. ASTM C109 / C109M -11a Standard Test Method for Compressive Strength of Hydraulic Cement Mortars Cube Specimens (Using 2-in. or [50 mm]).
11. ASTM C496 / C496M – 04e1 Standard Test Method for Splitting Tensile Strength of Concrete Cylindrical Specimens.
12. ASTM C293 / C293M - 10 Standard Test Method for Flexural Strength of Concrete (Using Simple Beam With Center-Point Loading).
13. ASTM C469 / C469M – 10 Standard Test Method for Static Modulus of Elasticity and Poisson's Ratio of Concrete in Compression.
14. David Roylance, "STRESS-STRAIN CURVES", Department of Materials Science and Engineering Massachusetts Institute of Technology Cambridge, MA 02139August 23, 2001.

تم اجراء البحث في كلية الهندسة = جامعة الموصل